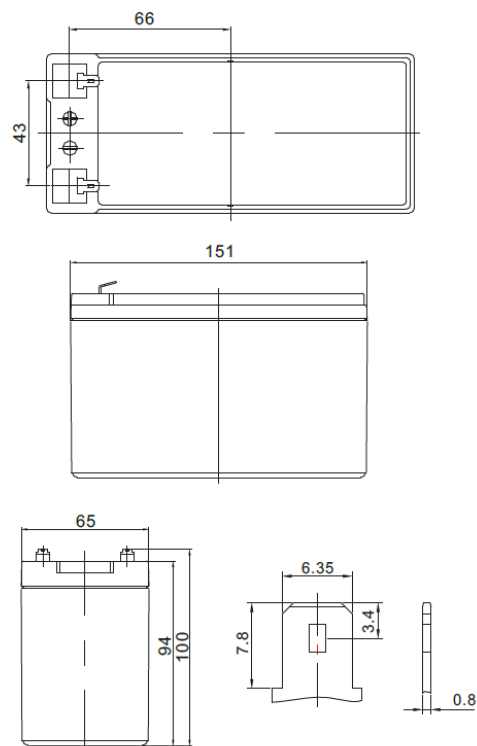


| | | |
|-------------------------------------|--|-----------------|
| Napięcie nominalne | 12 V | |
| Pojemność nominalna | 9 Ah @ C20 dla rozładowania do 1,75 V/celę | |
| Wymiary | Długość | 151 mm |
| | Szerokość | 65 mm |
| | Wysokość / wys. całkowita | 94 / 100 mm |
| Waga | ~ 2,45 kg | |
| Technologia wykonania | AGM (Absorbent Glass Mat) elektrolit uwięziony w separatorach z włókna szklanego VRLA (Valve Regulated Lead Acid) bezobsługowy, obudowa wyposażona w zawory bezpieczeństwa | |
| Projektowana żywotność | 10-12 lat (dla pracy buforowej) | |
| Rezystancja wewnętrzna | ~ 22,0 mΩ (w stanie pełnego naładowania) | |
| Dopuszczalny zakres temp. otoczenia | Rozładowanie | -20°C ~ +60°C |
| | Ładowanie | 0°C ~ +50°C |
| | Składowanie | -20°C ~ +60°C |
| Maksymalny prąd rozładowania | 90 A (5 sek.) | |
| Prąd zwarcioowy | 445 A | |
| Maksymalny prąd ładowania | 2,7 A | |
| Napięcie ładowania | Praca buforowa | 13,7 ~ 13,9 VDC |
| | Praca cykliczna | 14,6 ~ 14,8 VDC |
| Samorozładowanie | średnio 3% pojemności na miesiąc dla 25°C | |
| Materiał obudowy | ABS UL94HB (na specjalne zamówienie UL94-V0) | |
| Rodzaj terminala | fast-on 6,3 mm | |



CHRAKTERYSTYKA STAŁOPRĄDOWA (A przy 25°C)

| Napięcie / czas | 5 min | 8 min | 10 min | 15 min | 20 min | 30 min | 60 min | 90 min |
|-----------------|-------|-------|--------|--------|--------|--------|--------|--------|
| 9.6 V | 43,56 | 34,80 | 29,83 | 22,01 | 17,30 | 12,33 | 6,912 | 4,900 |
| 10.0 V | 39,53 | 31,83 | 27,50 | 20,58 | 16,33 | 11,68 | 6,588 | 4,690 |
| 10.2 V | 37,82 | 30,56 | 26,50 | 19,95 | 15,89 | 11,39 | 6,444 | 4,603 |
| 10.5 V | 35,03 | 28,47 | 24,83 | 18,84 | 15,10 | 10,91 | 6,228 | 4,463 |
| 10.8 V | 32,09 | 26,32 | 23,17 | 17,89 | 14,39 | 10,44 | 5,994 | 4,305 |
| 11.1 V | 27,44 | 22,42 | 19,67 | 15,34 | 12,50 | 9,231 | 5,418 | 3,938 |

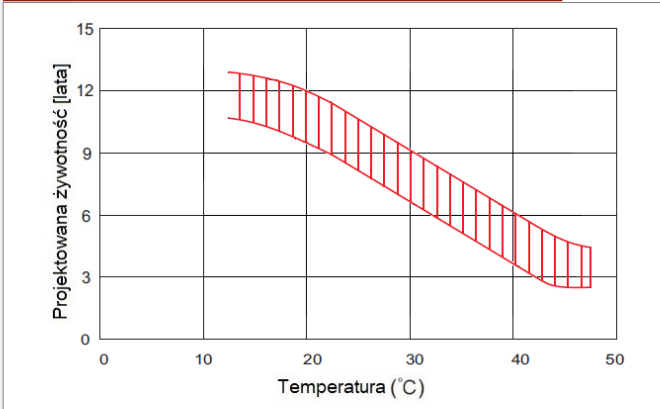
CHRAKTERYSTYKA STAŁOMOCOWA (W przy 25°C)

| Napięcie / czas | 5 min | 8 min | 10 min | 15 min | 20 min | 30 min | 60 min | 90 min |
|-----------------|-------|-------|--------|--------|--------|--------|--------|--------|
| 9.6 V | 469,7 | 376,6 | 324,0 | 241,3 | 191,1 | 136,7 | 77,76 | 55,65 |
| 10.0 V | 431,5 | 349,0 | 303,0 | 228,0 | 182,3 | 131,6 | 74,82 | 53,76 |
| 10.2 V | 416,6 | 337,8 | 294,0 | 223,3 | 178,5 | 128,5 | 73,68 | 52,92 |
| 10.5 V | 389,7 | 318,2 | 279,0 | 212,8 | 171,7 | 124,4 | 71,58 | 51,56 |
| 10.8 V | 361,8 | 297,7 | 263,0 | 203,3 | 164,9 | 120,4 | 69,54 | 50,19 |
| 11.1 V | 314,3 | 257,3 | 226,0 | 176,7 | 144,5 | 107,1 | 63,30 | 46,10 |

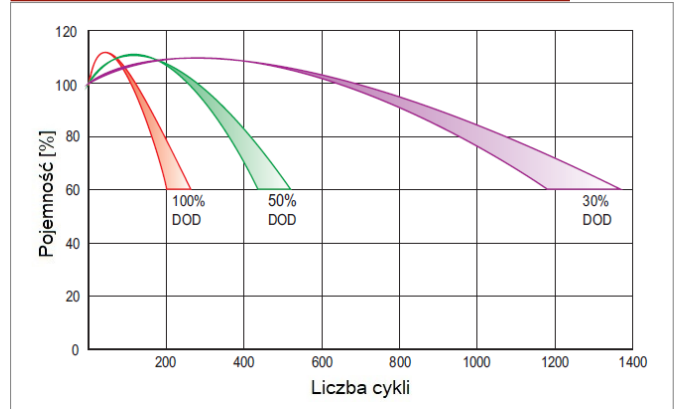
SPEŁNIANE NORMY

| | |
|---------------------|-----------|
| PN-EN 60896-21:2007 | ISO 9001 |
| PN-EN 60896-22:2007 | ISO 14001 |
| PN-EN 61056-1:2013 | |
| PN-EN 61056-2:2013 | |
| PN-E-83016:1999 | |

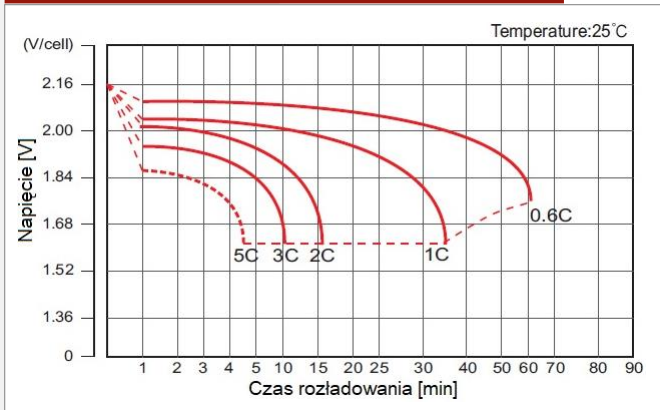
PROJEKTOWANA ŻYWOTNOŚĆ DLA PRACY BUFOROWEJ



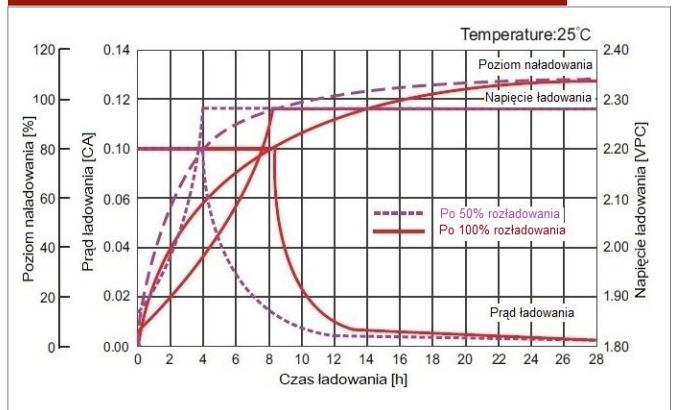
PROJEKTOWANA ŻYWOTNOŚĆ DLA PRACY CYKlicZNEJ



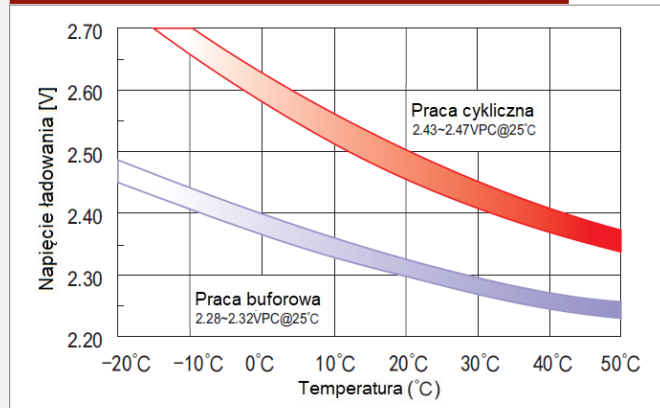
CHRAKTERYSTYKA ROZŁADOWANIA



CHRAKTERYSTYKA ŁADOWANIA



ZALEŻNOŚĆ NAPIĘCIA ŁADOWANIA OD TEMPERATURY



CHRAKTERYSTYKA SKŁADOWANIA

